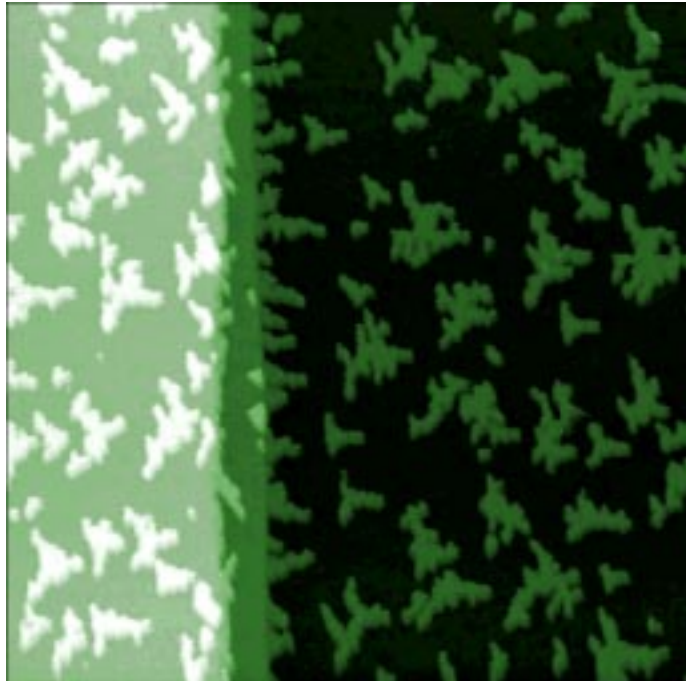
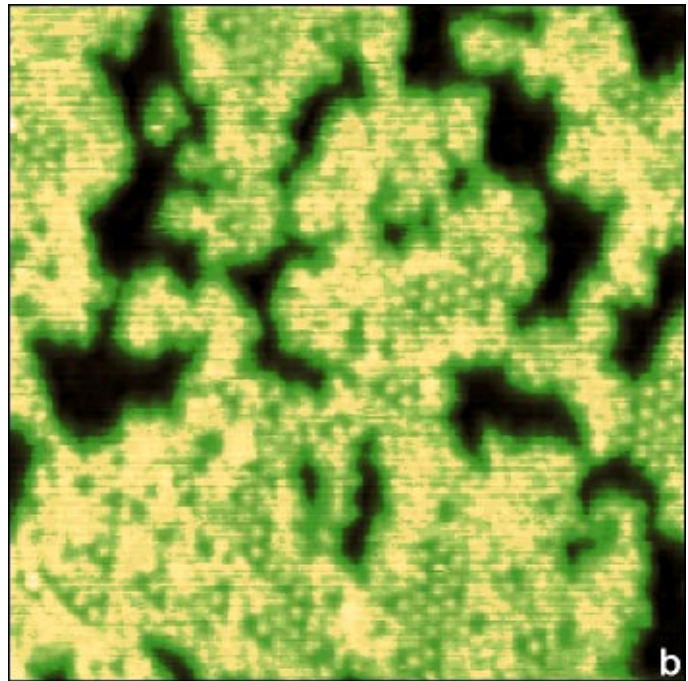


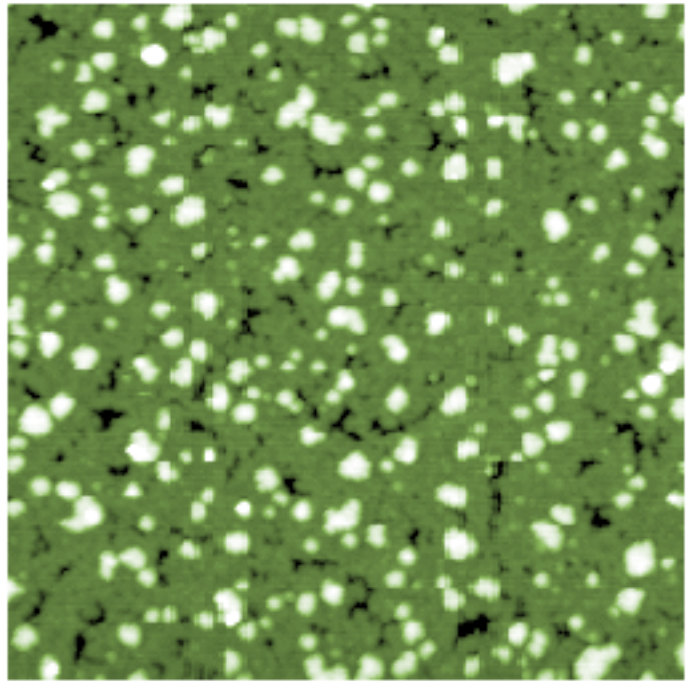
# Bei 300 K: Keimbildung und Wachstum



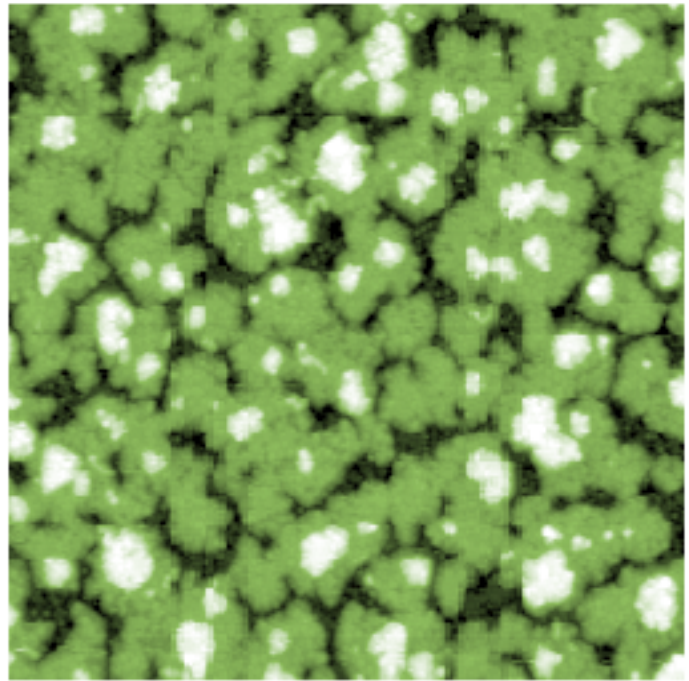
Co-Film auf einer gestuften Re(0001)-Oberfläche (0,4 ML; 1200 Å x 1200 Å).



Co-Film auf Re(0001) (0,9 ML; 200 Å x 200 Å): Aggregation und Wachstum in der zweiten Lage.

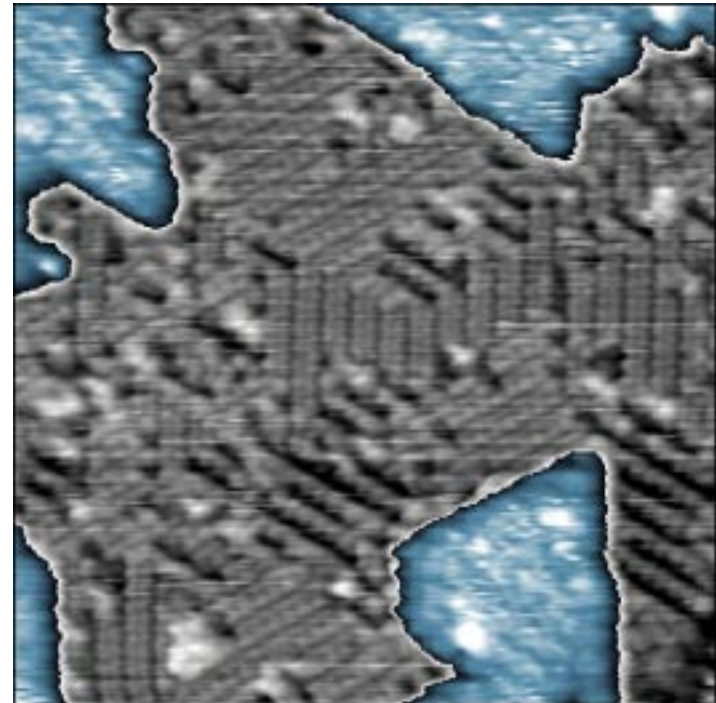
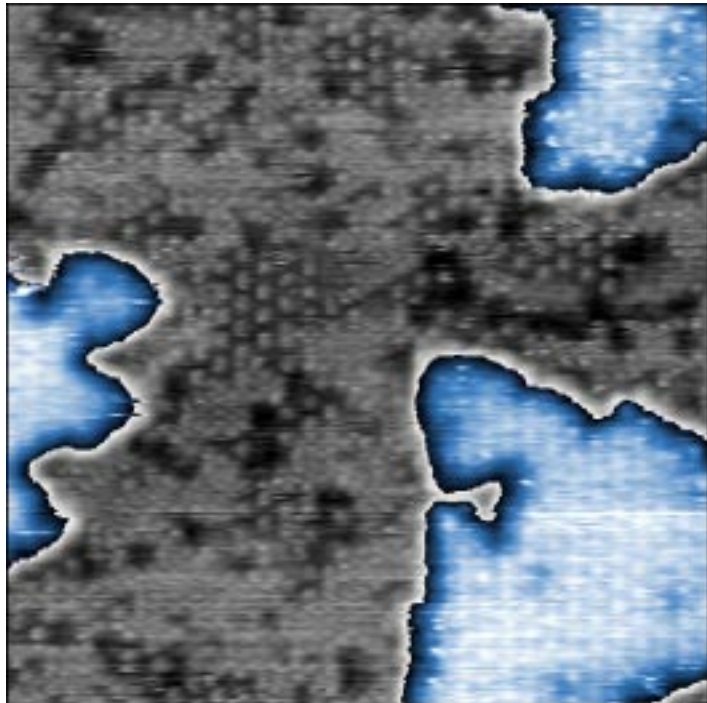


Co/Re(0001) (1,1 ML; 800 Å x 800 Å). Beginn des Wachstums der zweiten Lage.



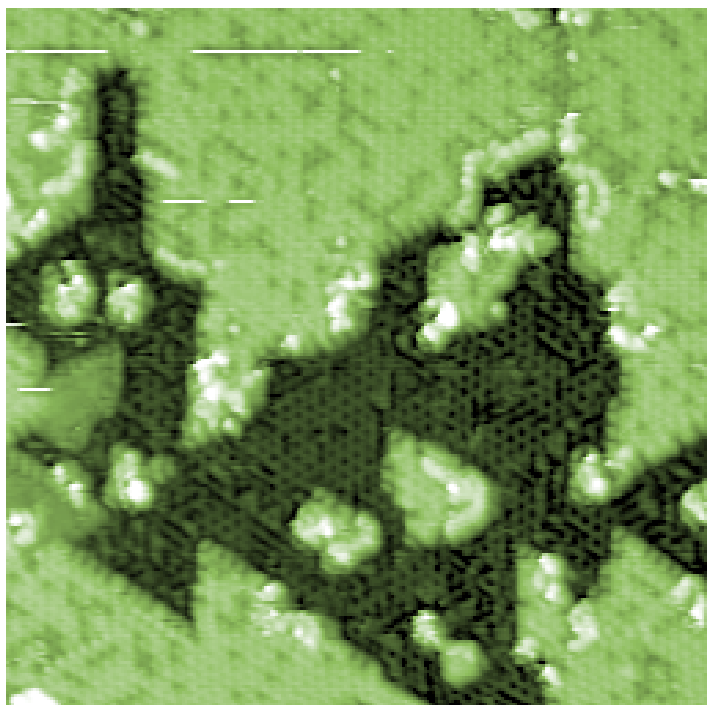
Co/Re(0001) (2 ML; 530 Å x 530 Å). Pseudo-Frank-van-der-Merwe-Mechanismus.

# Beginnende Legierungsbildung bei 400 K und 550 K:

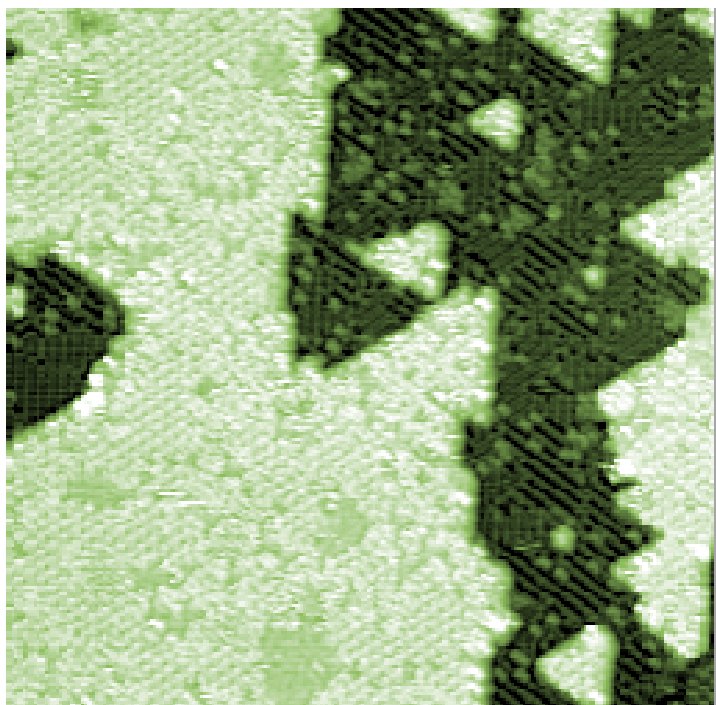


(0,4 ML; 150 Å x 150 Å). (2x2)-Struktur in den Co-Inseln und die Veränderung der Re-OF.

(0,55 ML; 120 Å x 120 Å). Doppelreihenstruktur in der Substratoberfläche



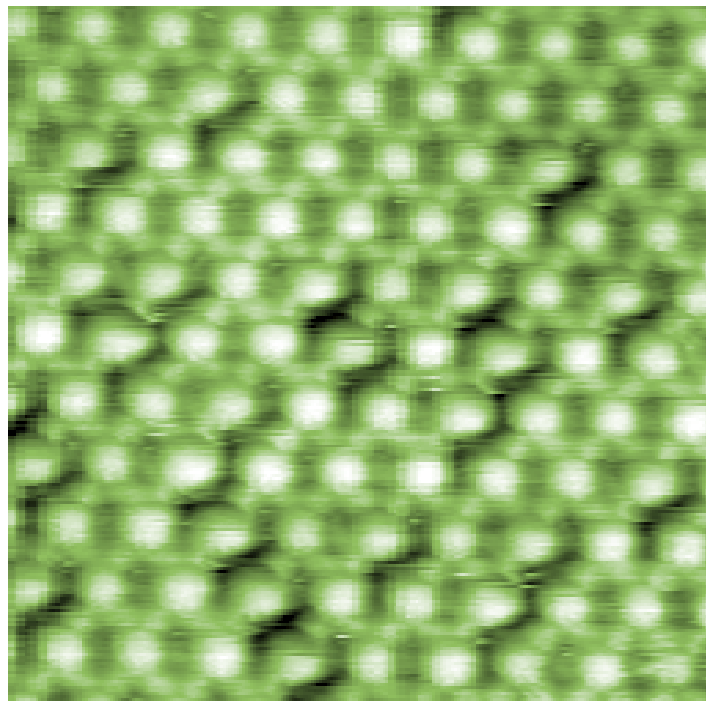
(0,78 ML; 290 Å x 290 Å). (2x2)-Struktur.



(0,55 ML; 310 Å x 310 Å). (2 x 2)-Struktur in den Co-Inseln.

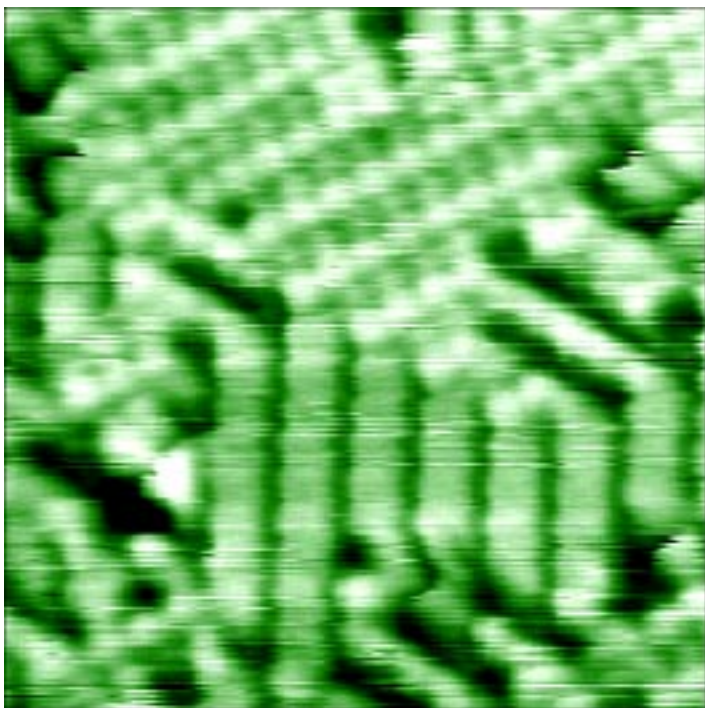
# Legierungsbildung

bei 400 K:  $\text{ReCo}_2$

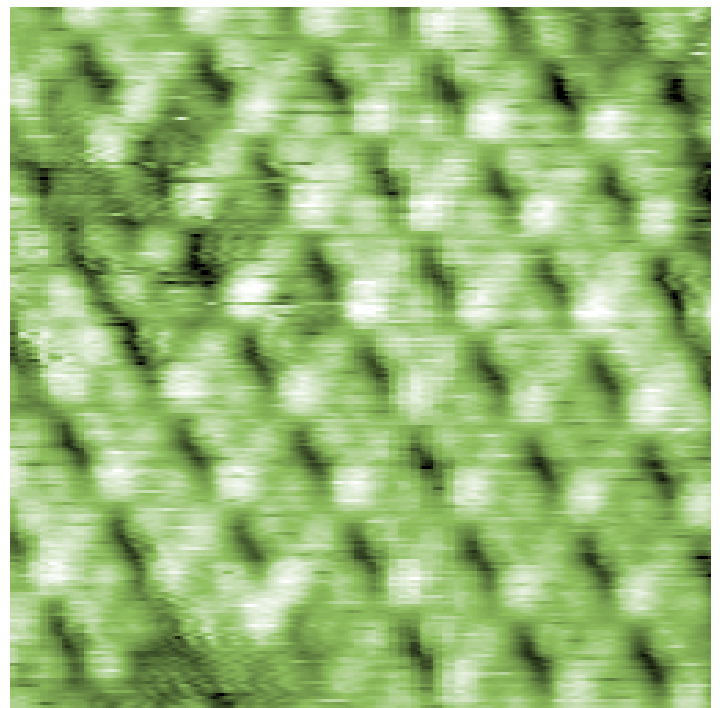


(0,78 ML; 50 Å x 50 Å).

bei 550 K:  $\text{ReCo}$  und  $\text{ReCo}_3$



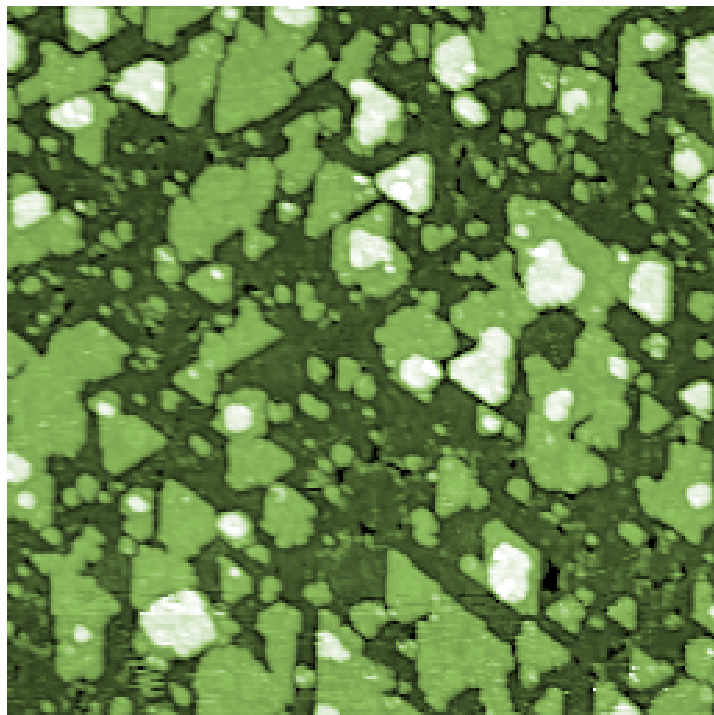
(0,55 ML; 120 Å x 120 Å).



(0.42 ML; 35 Å x 35 Å).

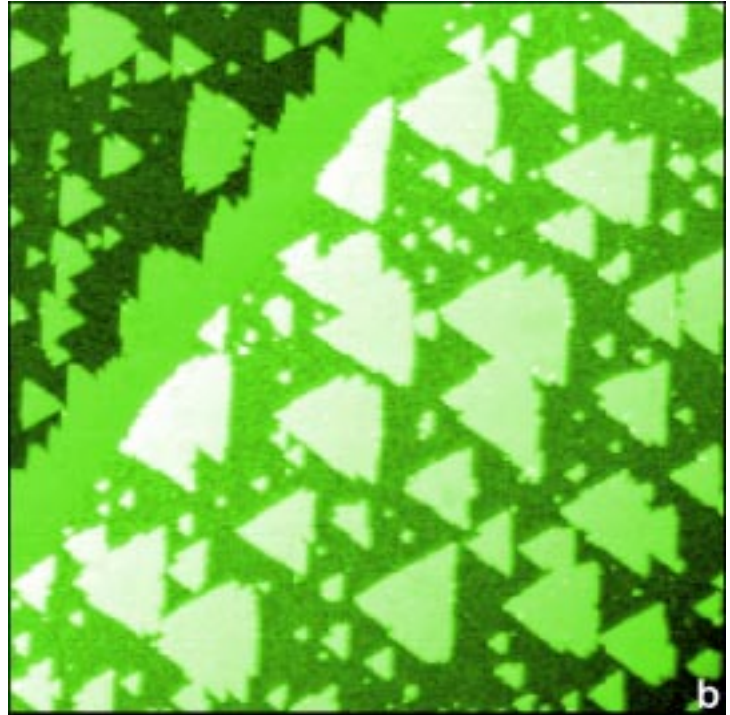
# Wachstum in höheren Lagen

1: 400 K

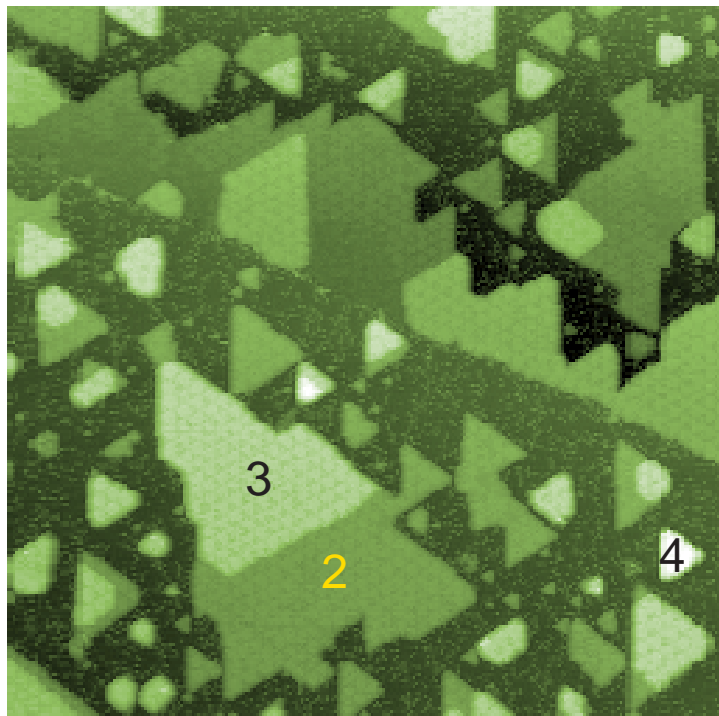


(1.58 ML; 850 Å x 850 Å). Fast geschlossene erste Lage, Inseln der 2. und sogar 3. Lage.

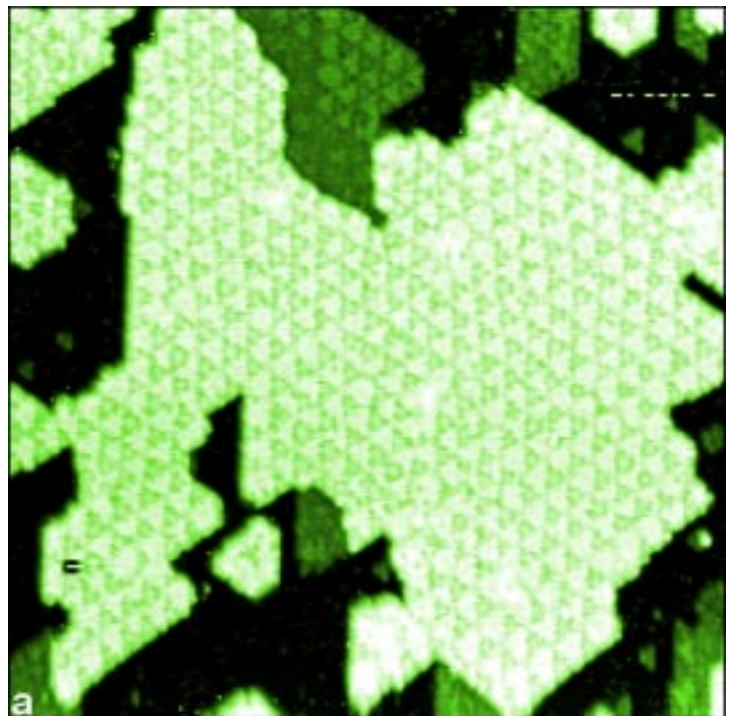
2-4: 550 K



(0,4 ML; 1800 Å x 1800 Å).

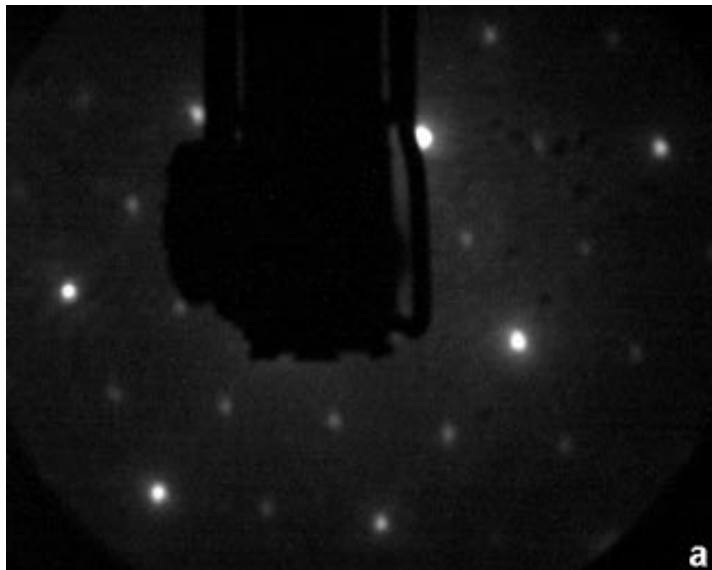


(1,6 ML; 1400 Å x 1400 Å). Auf der ersten Lage Inseln der 2., 3. und 4. Lage.



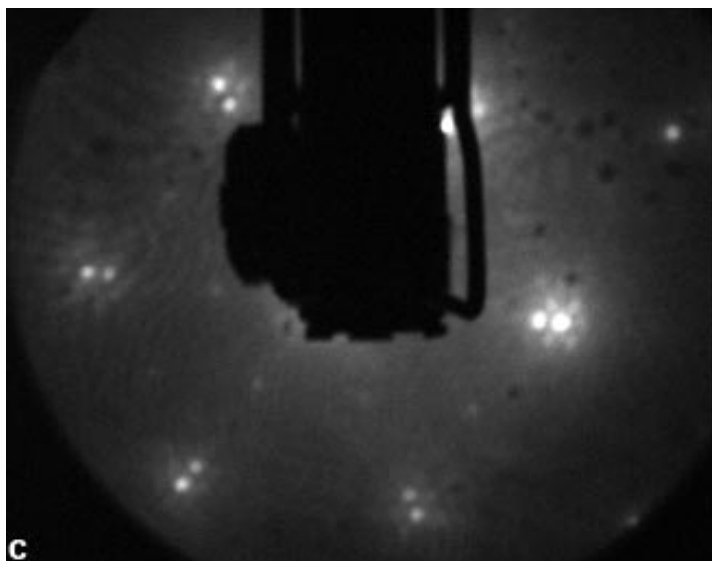
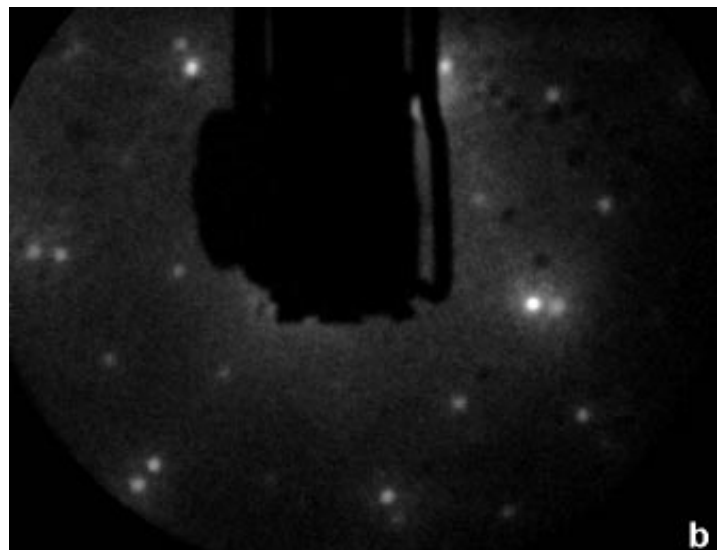
(~2 ML; 800 Å x 800 Å). Insel der dritten Lage.

# LEED-Bilder von Filmen bei 550 K



(2x2)-Phase  
(1 ML)

(2x2)-Phase  
überlagert  
mit epitaktischer  
Struktur  
(1,8 ML)



(10x10)-Phase  
(3,2 ML)